

Eingabe: Farbmétrisches Offset-Reflektiv-System ORS18

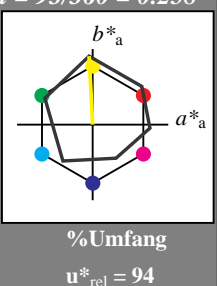
für Bunton $h^* = lab^*h = 93/360 = 0.258$
 lab^*tch und lab^*nch

D50: Bunton Y

LCH*Ma: 91 91 93

olv*Ma: 1.0 1.0 0.0

Dreiecks-Helligkeit



ORS18; adaptierte CIELAB-Daten

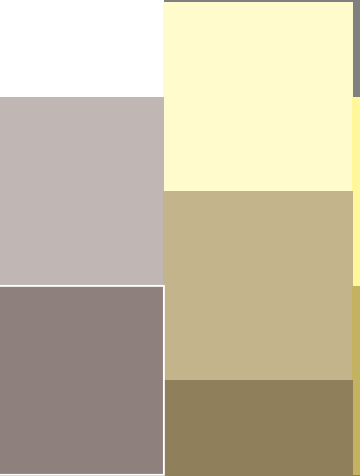
	$L^*=L^*_a$	a^*_a	b^*_a	$C^*_{ab,a}$	$h^*_{ab,a}$
O _{Ma}	47.94	65.05	50.54	82.38	38
Y _{Ma}	91.0	-4.72	90.58	90.7	93
L _{Ma}	50.9	-63.18	34.98	72.22	151
C _{Ma}	56.99	-39.34	-48.1	62.16	231
V _{Ma}	25.72	30.89	-44.4	54.09	305
M _{Ma}	49.99	75.76	-4.64	75.9	356
N _{Ma}	18.09	0.0	0.0	0.0	0
W _{Ma}	95.46	0.0	0.0	0.0	0
R _{CIE}	41.88	61.66	30.69	68.88	26
J _{CIE}	81.97	2.02	67.79	67.82	88
G _{CIE}	51.62	-41.32	9.74	42.46	167
B _{CIE}	29.2	-5.79	-49.61	49.96	263

1,00



%Umfang

$u^*_{rel} = 94$



1,00



0,75



0,50



n* = 1,0

%Regularität

$g^*_{H,rel} = 65$

$g^*_{C,rel} = 60$

0,75



0,50



0,25



n* = 0,00



0,25

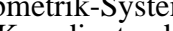


n* = 0,25



Schwarzheit n*

0,00



n* = 1,00



Ausgabe: Farbmétrisches Fernseh-Licht-System TLS00

für Bunton $h^* = lab^*h = 100/360 = 0.277$

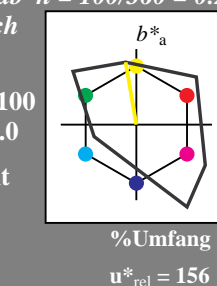
lab^*tch und lab^*nch

D50: Bunton Y

LCH*Ma: 93 84 100

olv*Ma: 1.0 1.0 0.0

Dreiecks-Helligkeit



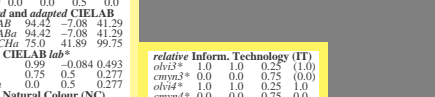
	$L^*=L^*_a$	a^*_a	b^*_a	$C^*_{ab,a}$	$h^*_{ab,a}$
O _{Ma}	54.19	79.36	63.0	101.33	38
Y _{Ma}	93.44	-14.18	82.59	83.8	100
L _{Ma}	82.82	-83.73	70.41	109.41	140
C _{Ma}	85.22	-55.9	-15.78	58.1	196
V _{Ma}	25.61	67.05	-108.87	127.87	302
M _{Ma}	58.76	91.18	-53.69	105.82	330
N _{Ma}	0.01	0.0	0.0	0.0	0
W _{Ma}	95.41	0.0	0.0	0.0	0
R _{CIE}	41.88	62.0	31.82	69.69	27
J _{CIE}	81.97	1.81	71.59	71.61	89
G _{CIE}	51.62	-41.11	11.52	42.7	164
B _{CIE}	29.2	-5.27	-49.33	49.62	264

%Regularität

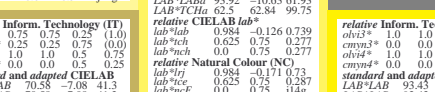
$g^*_{H,rel} = 26$

$g^*_{C,rel} = 45$

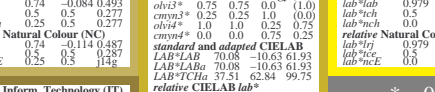
0,75



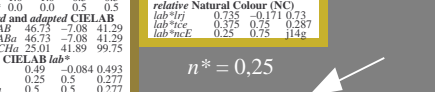
0,50



n* = 0,00



0,25

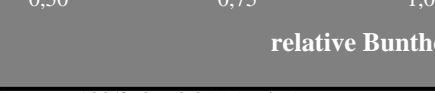


n* = 0,25



Schwarzheit n*

0,00



n* = 1,00



QG40-7, 5 stufige Reihen für konstanten CIELAB Bunton 93/360 = 0.258 (links)

5 stufige Reihen für konstanten CIELAB Bunton 100/360 = 0.277 (rechts)

BAM-Prüfvorlage QG40; Farbmétrik-Systeme ORS18 & ORS18 input: cmy0* setcmykcolor

D50: 5stufige Farbreihen und Koordinatendaten für 10 Bunttöne output: Startup (S) data dependend

Eingabe: Farbmétrisches Offset-Reflektiv-System ORS18
für Bunton $h^* = lab^*h = 151/360 = 0.42$

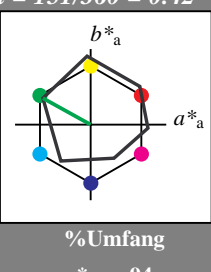
lab^*tch und lab^*nch

D50: Bunton L

LCH*Ma: 51 72 151

olv*Ma: 0.0 1.0 0.0

Dreiecks-Helligkeit



ORS18; adaptierte CIELAB-Daten

	$L^*=L^*_a$	a^*_a	b^*_a	$C^*_{ab,a}$	$h^*_{ab,a}$
O _{Ma}	47.94	65.05	50.54	82.38	38
Y _{Ma}	91.0	-4.72	90.58	90.7	93
L _{Ma}	50.9	-63.18	34.98	72.22	151
C _{Ma}	56.99	-39.34	-48.1	62.16	231
V _{Ma}	25.72	30.89	-44.4	54.09	305
M _{Ma}	49.99	75.76	-4.64	75.9	356
N _{Ma}	18.09	0.0	0.0	0.0	0
W _{Ma}	95.46	0.0	0.0	0.0	0
R _{CIE}	41.88	61.66	30.69	68.88	26
J _{CIE}	81.97	2.02	67.79	67.82	88
G _{CIE}	51.62	-41.32	9.74	42.46	167
B _{CIE}	29.2	-5.79	-49.61	49.96	263

1,00

%Umfang

$u^*_{rel} = 94$



%Regularität

$g^*_{H,rel} = 65$

$g^*_{C,rel} = 60$

1,00

relative Inform. Technology (IT)
 $oliv^{*3}$ 1.0 1.0 1.0 (1.0)
 $cmyn^{*3}$ 0.5 0.5 0.5 (0.0)
 $oliv^{*4}$ 1.0 1.0 1.0
 $cmyn^{*4}$ 0.0 0.0 0.0
standard and adapted CIELAB
 LAB^{*LAB} 0.0 0.0 0.0
 LAB^{*TCh} 95.41 0.0 0.0
 LAB^{*TChA} 99.99 0.01

relative CIELAB lab^*
 lab^{*3} 0.0 0.0 0.0
 lab^{*4} 1.0 1.0 1.0
 lab^{*nch} 0.0 0.0 0.0
relative Natural Colour (NC)
 lab^{*lrc} 1.0 0.0 0.0
 lab^{*nrc} 0.0 0.0 0.0
standard and adapted CIELAB
 LAB^{*LAB} 71.57 0.0 0.0
 LAB^{*TCh} 71.57 0.0 0.0
 LAB^{*TChA} 75.01 0.0 0.0

relative Inform. Technology (IT)
 $oliv^{*3}$ 0.5 0.5 0.5 (1.0)
 $cmyn^{*3}$ 0.25 0.25 0.25 (0.0)
 $oliv^{*4}$ 1.0 1.0 1.0
 $cmyn^{*4}$ 0.0 0.0 0.0
standard and adapted CIELAB
 LAB^{*LAB} 68.41 -20.93 17.66
 LAB^{*TCh} 68.41 -20.93 17.66
 LAB^{*TChA} 72.35 27.35 139.94

relative CIELAB lab^*
 lab^{*3} 0.5 0.5 0.5 (1.0)
 lab^{*4} 0.25 0.25 0.25 (0.0)
 lab^{*nch} 0.0 0.0 0.0
relative Natural Colour (NC)
 lab^{*lrc} 0.75 0.0 0.0
 lab^{*nrc} 0.25 0.0 0.0
standard and adapted CIELAB
 LAB^{*LAB} 65.26 -41.86 35.21
 LAB^{*TCh} 65.26 -41.86 35.21
 LAB^{*TChA} 69.11 -41.85 35.2
 LAB^{*TChB} 89.11 -41.85 35.2
 LAB^{*TChC} 84.69 139.94

%Regularität

$g^*_{H,rel} = 26$

$g^*_{C,rel} = 45$

$n^* = 0,00$

$n^* = 0,25$

$n^* = 0,50$

$n^* = 0,75$

$n^* = 1,00$

$n^* = 1,0$

$n^* = 0,50$

$n^* = 0,25$

$n^* = 0,00$

relative Buntheit c^*

relative Buntheit $c^*</math$

Siehe ähnliche Dateien: <http://www.ps.bam.de/QG40/>

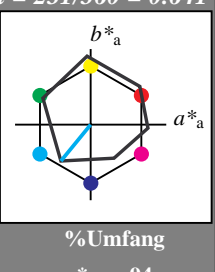
Technische Information: <http://www.ps.bam.de> Version 2.1, io=0,0?

Eingabe: Farbmétrisches Offset-Reflektiv-System ORS18

für Bunton $h^* = lab^*h = 231/360 = 0.641$
 lab^*tch und lab^*nch

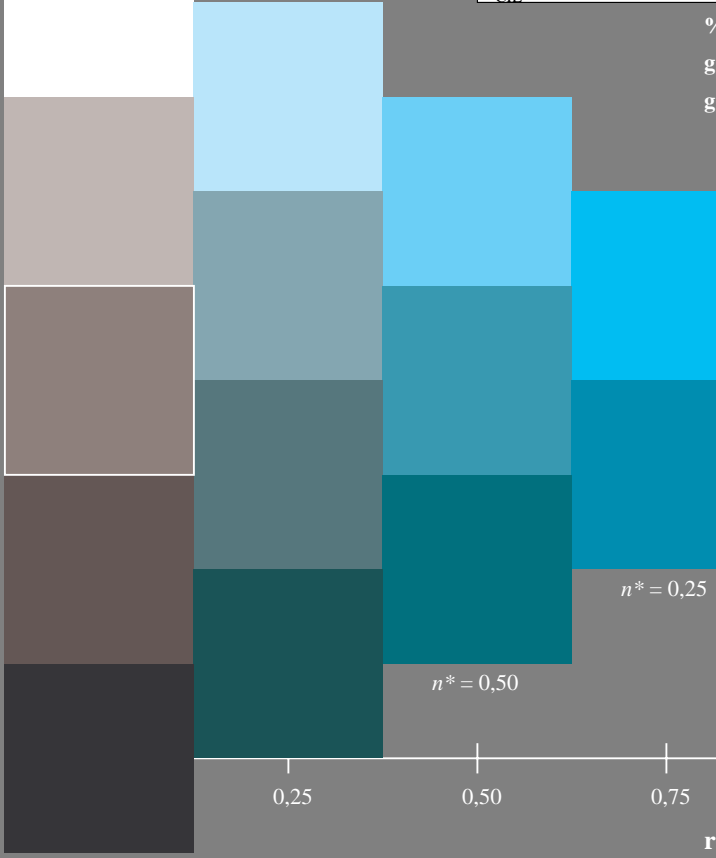
D50: Bunton C
LCH*Ma: 57 62 231
olv*Ma: 0.0 1.0 1.0

Dreiecks-Helligkeit



ORS18; adaptierte CIELAB-Daten

	$L^*=L^*_a$	a^*_a	b^*_a	$C^*_{ab,a}$	$h^*_{ab,a}$
O _{Ma}	47.94	65.05	50.54	82.38	38
Y _{Ma}	91.0	-4.72	90.58	90.7	93
L _{Ma}	50.9	-63.18	34.98	72.22	151
C _{Ma}	56.99	-39.34	-48.1	62.16	231
V _{Ma}	25.72	30.89	-44.4	54.09	305
M _{Ma}	49.99	75.76	-4.64	75.9	356
N _{Ma}	18.09	0.0	0.0	0.0	0
W _{Ma}	95.46	0.0	0.0	0.0	0
R _{CIE}	41.88	61.66	30.69	68.88	26
J _{CIE}	81.97	2.02	67.79	67.82	88
G _{CIE}	51.62	-41.32	9.74	42.46	167
B _{CIE}	29.2	-5.79	-49.61	49.96	263



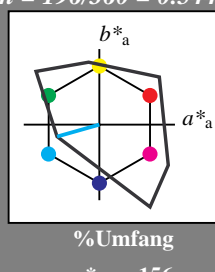
QG400-7, 5 stufige Reihen für konstanten CIELAB Bunnton 231/360 = 0.641 (links)

Ausgabe: Farbmétrisches Fernseh-Licht-System TLS00

für Bunton $h^* = lab^*h = 196/360 = 0.544$
 lab^*tch und lab^*nch

D50: Bunton C
LCH*Ma: 85 58 196
olv*Ma: 0.0 1.0 1.0

Dreiecks-Helligkeit

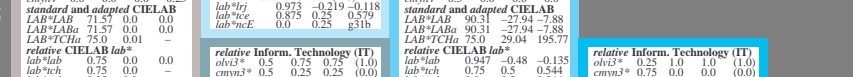


TLS00; adaptierte CIELAB-Daten

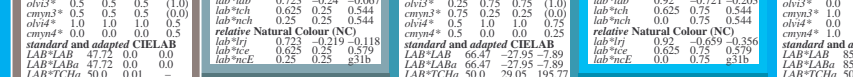
	$L^*=L^*_a$	a^*_a	b^*_a	$C^*_{ab,a}$	$h^*_{ab,a}$
O _{Ma}	54.19	79.36	63.0	101.33	38
Y _{Ma}	93.44	-14.18	82.59	83.8	100
L _{Ma}	82.82	-83.73	70.41	109.41	140
C _{Ma}	85.22	-55.9	-15.78	58.1	196
V _{Ma}	25.61	67.05	-108.87	127.87	302
M _{Ma}	58.76	91.18	-53.69	105.82	330
N _{Ma}	0.01	0.0	0.0	0.0	0
W _{Ma}	95.41	0.0	0.0	0.0	0
R _{CIE}	41.88	62.0	31.82	69.69	27
J _{CIE}	81.97	1.81	71.59	71.61	89
G _{CIE}	51.62	-41.11	11.52	42.7	164
B _{CIE}	29.2	-5.27	-49.33	49.62	264



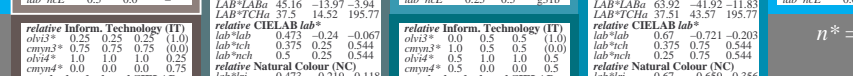
%Regularität
 $g^*_{H,rel} = 26$
 $g^*_{C,rel} = 45$



%Regularität
 $g^*_{H,rel} = 26$
 $g^*_{C,rel} = 45$



%Regularität
 $g^*_{H,rel} = 26$
 $g^*_{C,rel} = 45$



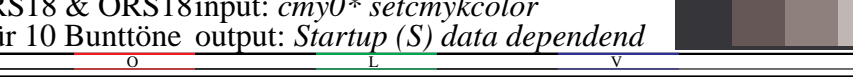
%Regularität
 $g^*_{H,rel} = 26$
 $g^*_{C,rel} = 45$



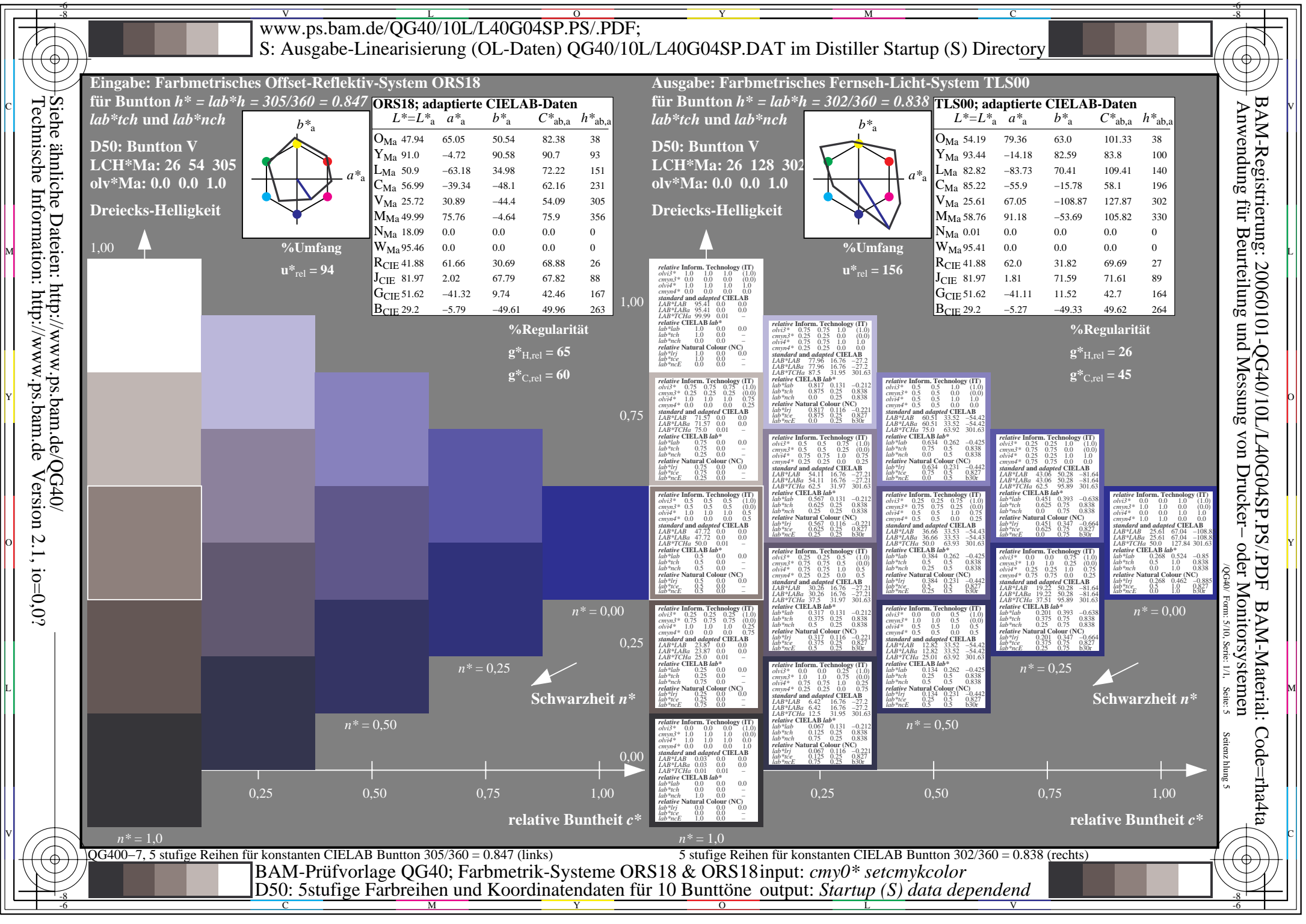
%Regularität
 $g^*_{H,rel} = 26$
 $g^*_{C,rel} = 45$



%Regularität
 $g^*_{H,rel} = 26$
 $g^*_{C,rel} = 45$



%Regularität
 $g^*_{H,rel} = 26$
 $g^*_{C,rel} = 45$

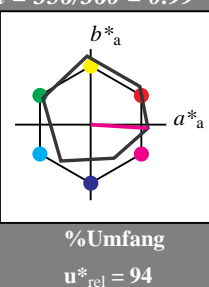


Siehe ähnliche Dateien: <http://www.ps.bam.de/QG40/>
Technische Information: <http://www.ps.bam.de>

Eingabe: Farbmétrisches Offset-Reflektiv-System ORS18
für Bunton $h^* = lab^*h = 356/360 = 0.99$
 lab^*tch und lab^*nch

D50: Bunton M
LCH*Ma: 50 76 356
olv*Ma: 1.0 0.0 1.0

Dreiecks-Helligkeit



ORS18; adaptierte CIELAB-Daten

	$L^*=L^*_a$	a^*_a	b^*_a	$C^*_{ab,a}$	$h^*_{ab,a}$
O _{Ma}	47.94	65.05	50.54	82.38	38
Y _{Ma}	91.0	-4.72	90.58	90.7	93
L _{Ma}	50.9	-63.18	34.98	72.22	151
C _{Ma}	56.99	-39.34	-48.1	62.16	231
V _{Ma}	25.72	30.89	-44.4	54.09	305
M _{Ma}	49.99	75.76	-4.64	75.9	356
N _{Ma}	18.09	0.0	0.0	0.0	0
W _{Ma}	95.46	0.0	0.0	0.0	0
R _{CIE}	41.88	61.66	30.69	68.88	26
J _{CIE}	81.97	2.02	67.79	67.82	88
G _{CIE}	51.62	-41.32	9.74	42.46	167
B _{CIE}	29.2	-5.79	-49.61	49.96	263

1,00

%Umfang

$u^*_{rel} = 94$



1,00

%Umfang

$u^*_{rel} = 156$



1,00

%Umfang

$u^*_{rel} = 26$



1,00

%Umfang

$g^*_{C,rel} = 45$



1,00

%Umfang

$g^*_{H,rel} = 65$



1,00

%Umfang

$n^* = 0,00$



1,00

%Umfang

$n^* = 0,25$



1,00

%Umfang

$n^* = 0,50$



1,00

%Umfang

$n^* = 1,0$

relative Buntheit c^*

0,00

0,25

0,50

0,75

1,00

relative Buntheit c^*

0,00

$n^* = 1,0$

0,50

0,25

0,75

0,00

0,25

0,50

0,75

1,00

relative Buntheit c^*

0,00

0,25

0,50

0,75</

$n^* = 0,00$

Schwarzheit n^*

$n^* = 0,50$

Schwarzheit n^*

%Regularität

$g^*_{H,rel} = 26$

$g^*_{C,rel} = 45$

%Regularität

$g^*_{H,rel} = 26$

$g^*_{C,rel} = 45$

$n^* = 0,25$

Schwarzheit n^*

$n^* = 0,50$

Schwarzheit n^*

%Regularität

$g^*_{H,rel} = 26$

$g^*_{C,rel} = 45$

$n^* = 0,00$

Schwarzheit n^*

$n^* = 0,25$

Schwarzheit n^*

%Regularität

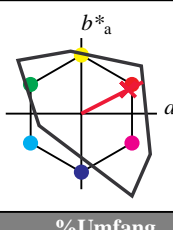
$g^*_{H,rel} = 26$

$g^*_{C,rel} = 45$

Ausgabe: Farbmétrisches Fernseh-Licht-System TLS00

für Bunton $h^* = lab^*h = 27/360 = 0.075$

lab^*tch und lab^*nch



%Umfang
 $u^*_{rel} = 156$

D50: Bunton R

LCH*Ma: 49 76 26

olv*Ma: 1.0 0.0 0.3

Dreiecks-Helligkeit

↑
1,00

%Umfang
 $u^*_{rel} = 94$

Dreiecks-Helligkeit

↑
1,00

%Umfang
 $u^*_{rel} = 65$

Dreiecks-Helligkeit

↑
1,00

%Umfang
 $u^*_{rel} = 60$

Dreiecks-Helligkeit

↑
1,00

%Umfang
 $u^*_{rel} = 50$

Dreiecks-Helligkeit

↑
1,00

%Umfang
 $u^*_{rel} = 45$

Dreiecks-Helligkeit

↑
1,00

%Umfang
 $u^*_{rel} = 40$

Dreiecks-Helligkeit

↑
1,00

%Umfang
 $u^*_{rel} = 35$

Dreiecks-Helligkeit

↑
1,00

%Umfang
 $u^*_{rel} = 30$

Dreiecks-Helligkeit

↑
1,00

%Umfang
 $u^*_{rel} = 25$

Dreiecks-Helligkeit

↑
1,00

%Umfang
 $u^*_{rel} = 20$

Dreiecks-Helligkeit

↑
1,00

%Umfang
 $u^*_{rel} = 15$

Dreiecks-Helligkeit

↑
1,00

%Umfang
 $u^*_{rel} = 10$

Dreiecks-Helligkeit

↑
1,00

%Umfang
 $u^*_{rel} = 5$

Dreiecks-Helligkeit

↑
1,00

%Umfang
 $u^*_{rel} = 0$

Dreiecks-Helligkeit

↑
1,00

%Umfang
 $u^*_{rel} = -5$

Dreiecks-Helligkeit

↑
1,00

%Umfang
 $u^*_{rel} = -10$

Dreiecks-Helligkeit

↑
1,00

%Umfang
 $u^*_{rel} = -15$

Dreiecks-Helligkeit

↑
1,00

%Umfang
 $u^*_{rel} = -20$

Dreiecks-Helligkeit

↑
1,00

%Umfang
 $u^*_{rel} = -25$

Dreiecks-Helligkeit

↑
1,00

%Umfang
 $u^*_{rel} = -30$

Dreiecks-Helligkeit

↑
1,00

%Umfang
 $u^*_{rel} = -35$

Dreiecks-Helligkeit

↑
1,00

%Umfang
 $u^*_{rel} = -40$

Dreiecks-Helligkeit

↑
1,00

%Umfang
 $u^*_{rel} = -45$

Dreiecks-Helligkeit

↑
1,00

%Umfang
 $u^*_{rel} = -50$

Dreiecks-Helligkeit

↑
1,00

%Umfang
 $u^*_{rel} = -55$

Dreiecks-Helligkeit

↑
1,00

%Umfang
 $u^*_{rel} = -60$

Dreiecks-Helligkeit

↑
1,00

%Umfang
 $u^*_{rel} = -65$

Dreiecks-Helligkeit

↑
1,00

%Umfang
 $u^*_{rel} = -70$

Dreiecks-Helligkeit

↑
1,00

%Umfang
 $u^*_{rel} = -75$

Dreiecks-Helligkeit

↑
1,00

%Umfang
 $u^*_{rel} = -80$

Dreiecks-Helligkeit

↑
1,00

%Umfang
 $u^*_{rel} = -85$

Dreiecks-Helligkeit

↑
1,00

%Umfang
 $u^*_{rel} = -90$

Dreiecks-Helligkeit

↑
1,00

%Umfang
 $u^*_{rel} = -95$

Dreiecks-Helligkeit

↑
1,00

%Umfang
 $u^*_{rel} = -100$

Dreiecks-Helligkeit

↑
1,00

%Umfang
 $u^*_{rel} = -105$

Dreiecks-Helligkeit

↑
1,00

%Umfang
 $u^*_{rel} = -110$

Dreiecks-Helligkeit

↑
1,00

%Umfang
 $u^*_{rel} = -115$

Dreiecks-Helligkeit

↑
1,00

%Umfang
 $u^*_{rel} = -120$

Dreiecks-Helligkeit

↑
1,00

%Umfang
 $u^*_{rel} = -125$

Dreiecks-Helligkeit

↑
1,00

%Umfang
 $u^*_{rel} = -130$

Dreiecks-Helligkeit

↑
1,00

%Umfang
 $u^*_{rel} = -135$

Dreiecks-Helligkeit

↑
1,00

%Umfang
 $u^*_{rel} = -140$

Dreiecks-Helligkeit

↑
1,00

%Umfang
 $u^*_{rel} = -145$

Dreiecks-Helligkeit

↑
1,00

%Umfang
 $u^*_{rel} = -150$

Dreiecks-Helligkeit

↑
1,00

%Umfang
 $u^*_{rel} = -155$

Dreiecks-Helligkeit

↑
1,00

%Umfang
 $u^*_{rel} = -160$

Dreiecks-Helligkeit

↑
1,00

%Umfang
 $u^*_{rel} = -165$

Dreiecks-Helligkeit

↑
1,00

%Umfang
 $u^*_{rel} = -170$

Dreiecks-Helligkeit

↑
1,00

%Umfang
 $u^*_{rel} = -175$

Dreiecks-Helligkeit

↑
1,00

%Umfang
 $u^*_{rel} = -180$

Dreiecks-Helligkeit

↑
1,00

%Umfang
 $u^*_{rel} = -185$

Dreiecks-Helligkeit

↑
1,00

%Umfang
 $u^*_{rel} = -190$

Dreiecks-Helligkeit

↑
1,00

%Umfang
 $u^*_{rel} = -195$

Dreiecks-Helligkeit

↑
1,00

%Umfang
 $u^*_{rel} = -200$

Dreiecks-Helligkeit

↑
1,00

%Umfang
 $u^*_{rel} = -205$

Dreiecks-Helligkeit

↑
1,00

%Umfang
 $u^*_{rel} = -210$

Dreiecks-Helligkeit

↑
1,00

%Umfang
 $u^*_{rel} = -215$

Dreiecks-Helligkeit

↑
1,00

%Umfang
 $u^*_{rel} = -220$

Dreiecks-Helligkeit

↑
1,00

%Umfang
 $u^*_{rel} = -225$

Dreiecks-Helligkeit

↑
1,00

%Umfang
 $u^*_{rel} = -230$

Dreiecks-Helligkeit

↑
1,00

%Umfang
 $u^*_{rel} = -235$

Dreiecks-Helligkeit

↑
1,00

%Umfang
 $u^*_{rel} = -240$

Dreiecks-Helligkeit

↑
1,00

%Umfang
 $u^*_{rel} = -245$

Dreiecks-Helligkeit

↑
1,00

%Umfang
 $u^*_{rel} = -250$

Dreiecks-Helligkeit

↑
1,00

%Umfang
 $u^*_{rel} = -255$

Dreiecks-Helligkeit

↑
1,00

%Umfang
 $u^*_{rel} = -260$

Dreiecks-Helligkeit

↑
1,00

%Umfang
 $u^*_{rel} = -265$

Dreiecks-Helligkeit

↑
1,00

%Umfang
 $u^*_{rel} = -270$

Dreiecks-Helligkeit

↑
1,00

%Umfang
 $u^*_{rel} = -275$

Dreiecks-Helligkeit



Eingabe: Farbmétrisches Offset-Reflektiv-System ORS18

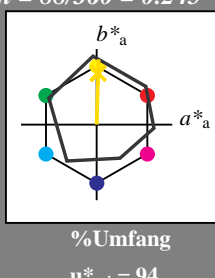
für Bunton $h^* = lab^*h = 88/360 = 0.245$
 lab^*tch und lab^*nch

D50: Bunton J

LCH*Ma: 86 86 88

olv*Ma: 1.0 0.9 0.0

Dreiecks-Helligkeit



ORS18; adaptierte CIELAB-Daten

	$L^*=L^*_a$	a^*_a	b^*_a	$C^*_{ab,a}$	$h^*_{ab,a}$
O _{Ma}	47.94	65.05	50.54	82.38	38
Y _{Ma}	91.0	-4.72	90.58	90.7	93
L _{Ma}	50.9	-63.18	34.98	72.22	151
C _{Ma}	56.99	-39.34	-48.1	62.16	231
V _{Ma}	25.72	30.89	-44.4	54.09	305
M _{Ma}	49.99	75.76	-4.64	75.9	356
N _{Ma}	18.09	0.0	0.0	0.0	0
W _{Ma}	95.46	0.0	0.0	0.0	0
R _{CIE}	41.88	61.66	30.69	68.88	26
J _{CIE}	81.97	2.02	67.79	67.82	88
G _{CIE}	51.62	-41.32	9.74	42.46	167
B _{CIE}	29.2	-5.79	-49.61	49.96	263



Ausgabe: Farbmétrisches Fernseh-Licht-System TLS00

für Bunton $h^* = lab^*h = 89/360 = 0.246$

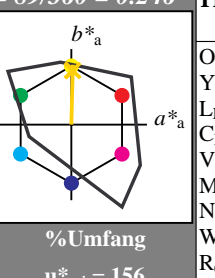
lab^*tch und lab^*nch

D50: Bunton J

LCH*Ma: 87 79 89

olv*Ma: 1.0 0.83 0.0

Dreiecks-Helligkeit



TLS00; adaptierte CIELAB-Daten

	$L^*=L^*_a$	a^*_a	b^*_a	$C^*_{ab,a}$	$h^*_{ab,a}$
O _{Ma}	54.19	79.36	63.0	101.33	38
Y _{Ma}	93.44	-14.18	82.59	83.8	100
L _{Ma}	82.82	-83.73	70.41	109.41	140
C _{Ma}	85.22	-55.9	-15.78	58.1	196
V _{Ma}	25.61	67.05	-108.87	127.87	302
M _{Ma}	58.76	91.18	-53.69	105.82	330
N _{Ma}	0.01	0.0	0.0	0.0	0
W _{Ma}	95.41	0.0	0.0	0.0	0
R _{CIE}	41.88	62.0	31.82	69.69	27
J _{CIE}	81.97	1.81	71.59	71.61	89
G _{CIE}	51.62	-41.11	11.52	42.7	164
B _{CIE}	29.2	-5.27	-49.33	49.62	264

%Regularität

$g^*_{H,rel} = 26$

$g^*_{C,rel} = 45$

%Regularität

$g^*_{H,rel} = 65$

$g^*_{C,rel} = 60$

n* = 0,00

n* = 0,25

n* = 0,50

n* = 0,75

n* = 1,00

n* = 1,25

n* = 1,50

n* = 1,75

n* = 2,00

n* = 2,25

n* = 2,50

n* = 2,75

n* = 3,00

n* = 3,25

n* = 3,50

n* = 3,75

n* = 4,00

n* = 4,25

n* = 4,50

n* = 4,75

n* = 5,00

n* = 5,25

n* = 5,50

n* = 5,75

n* = 6,00

n* = 6,25

n* = 6,50

n* = 6,75

n* = 7,00

n* = 7,25

n* = 7,50

n* = 7,75

n* = 8,00

n* = 8,25

n* = 8,50

n* = 8,75

n* = 9,00

n* = 9,25

n* = 9,50

n* = 9,75

n* = 10,00

n* = 10,25

n* = 10,50

n* = 10,75

n* = 11,00

n* = 11,25

n* = 11,50

n* = 11,75

n* = 12,00

n* = 12,25

n* = 12,50

n* = 12,75

n* = 13,00

n* = 13,25

n* = 13,50

n* = 13,75

n* = 14,00

n* = 14,25

n* = 14,50

n* = 14,75

n* = 15,00

n* = 15,25

n* = 15,50

n* = 15,75

n* = 16,00

n* = 16,25

n* = 16,50

n* = 16,75

n* = 17,00

n* = 17,25

n* = 17,50

n* = 17,75

n* = 18,00

n* = 18,25

n* = 18,50

n* = 18,75

n* = 19,00

n* = 19,25

n* = 19,50

n* = 19,75

n* = 20,00

n* = 20,25

n* = 20,50

n* = 20,75

n* = 21,00

n* = 21,25

n* = 21,50

n* = 21,75

n* = 22,00

n* = 22,25

n* = 22,50

n* = 22,75

n* = 23,00

n* = 23,25

n* = 23,50

n* = 23,75

n* = 24,00

n* = 24,25

n* = 24,50

n* = 24,75

n* = 25,00

n* = 25,25

n* = 25,50

n* = 25,75

n* = 26,00

n* = 26,25

n* = 26,50

n* = 26,75

n* = 27,00

n* = 27,25

n* = 27,50

n* = 27,75

n* = 28,00

n* = 28,25

n* = 28,50

n* = 28,75

n* = 29,00

n* = 29,25

n* = 29,50

n* = 29,75

n* = 30,00

n* = 30,25

n* = 30,50

n* = 30,75

n* = 31,00

n* = 31,25

n* = 31,50

n* = 31,75

n* = 32,00

n* = 32,25

n* = 32,50

n* = 32,75

n* = 33,00

n* = 33,25

n* = 33,50

n* = 33,75

n* = 34,00

n* = 34,25

n* = 34,50

n* = 34,75

n* = 35,00

n* = 35,25

n* = 35,50

n* = 35,75

n* = 36,00

n* = 36,25

n* = 36,50

n* = 36,75

n* = 37,00

n* = 37,25

n* = 37,50

n* = 37,75

n* = 38,00

n* = 38,25

n* = 38,50

n* = 38,75

n* = 39,00

n* = 39,25

n* = 39,50

n* = 39,75

n* = 40,00

n* = 40,25

n* = 40,50

n* = 40,75

n* = 41,00

n* = 41,25

n* = 41,50

n* = 41,75

n* = 42,00

Siehe ähnliche Dateien: <http://www.ps.bam.de/QG40/>
Technische Information: <http://www.ps.bam.de>

Eingabe: Farbmétrisches Offset-Reflektiv-System ORS18

für Bunton $h^* = lab^*h = 167/360 = 0.463$

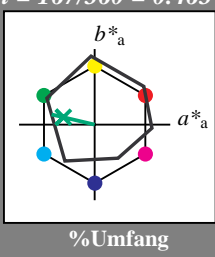
lab^{*tch} und lab^{*nch}

D50: Bunton G

LCH*Ma: 52 59 167

olv*Ma: 0.0 1.0 0.26

Dreiecks-Helligkeit

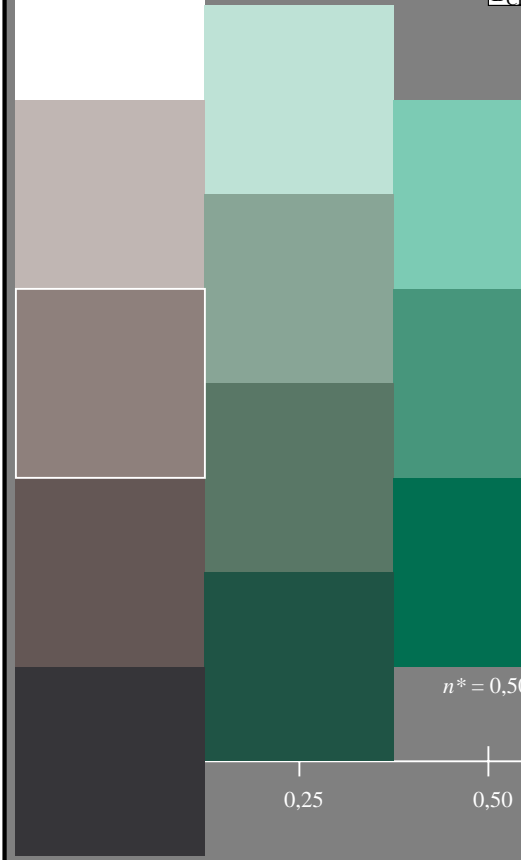


%Umfang

$u^{*}_{rel} = 94$

ORS18; adaptierte CIELAB-Daten

	$L^*=L^*_a$	a^*_a	b^*_a	$C^*_{ab,a}$	$h^*_{ab,a}$
O _{Ma}	47.94	65.05	50.54	82.38	38
Y _{Ma}	91.0	-4.72	90.58	90.7	93
L _{Ma}	50.9	-63.18	34.98	72.22	151
C _{Ma}	56.99	-39.34	-48.1	62.16	231
V _{Ma}	25.72	30.89	-44.4	54.09	305
M _{Ma}	49.99	75.76	-4.64	75.9	356
N _{Ma}	18.09	0.0	0.0	0.0	0
W _{Ma}	95.46	0.0	0.0	0.0	0
R _{CIE}	41.88	61.66	30.69	68.88	26
J _{CIE}	81.97	2.02	67.79	67.82	88
G _{CIE}	51.62	-41.32	9.74	42.46	167
B _{CIE}	29.2	-5.79	-49.61	49.96	263



$n^* = 1,0$

Ausgabe: Farbmétrisches Fernseh-Licht-System TLS00

für Bunton $h^* = lab^*h = 164/360 = 0.457$

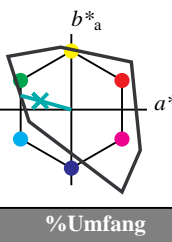
lab^{*tch} und lab^{*nch}

D50: Bunton G

LCH*Ma: 84 70 164

olv*Ma: 0.0 1.0 0.6

Dreiecks-Helligkeit

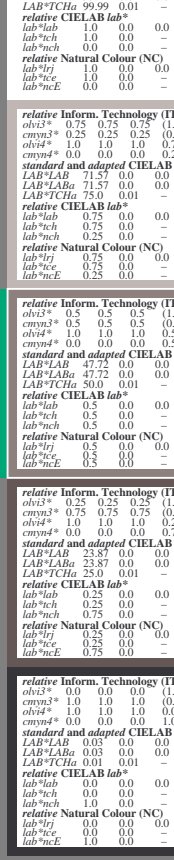


%Umfang

$u^{*}_{rel} = 156$

TLS00; adaptierte CIELAB-Daten

	$L^*=L^*_a$	a^*_a	b^*_a	$C^*_{ab,a}$	$h^*_{ab,a}$
O _{Ma}	54.19	79.36	63.0	101.33	38
Y _{Ma}	93.44	-14.18	82.59	83.8	100
L _{Ma}	82.82	-83.73	70.41	109.41	140
C _{Ma}	85.22	-55.9	-15.78	58.1	196
V _{Ma}	25.61	67.05	-108.87	127.87	302
M _{Ma}	58.76	91.18	-53.69	105.82	330
N _{Ma}	0.01	0.0	0.0	0.0	0
W _{Ma}	95.41	0.0	0.0	0.0	0
R _{CIE}	41.88	62.0	31.82	69.69	27
J _{CIE}	81.97	1.81	71.59	71.61	89
G _{CIE}	51.62	-41.11	11.52	42.7	164
B _{CIE}	29.2	-5.27	-49.33	49.62	264



$n^* = 1,0$

%Regularität

$g^*_{H,rel} = 26$

$g^*_{C,rel} = 45$

relative Inform. Technology (IT)	$oliv^{*3}$	0.75	1.0	0.9	$(1,0)$
cmy^{*3}	0.5	0.25	0.5	0.25	(0,0)
$oliv^{*4}$	1.0	1.0	1.0	1.0	1.0
cmy^{*4}	0.0	0.0	0.0	0.0	0.0
standard and adapted CIELAB					
LAB^{*LAB}	0.75	0.0	0.0	0.0	0.0
LAB^{*LaB}	95.41	0.0	0.0	0.0	0.0
LAB^{*TCh}	99.99	0.01	0.0	0.0	0.0

relative Inform. Technology (IT)	$oliv^{*3}$	0.75	1.0	0.9	$(1,0)$
cmy^{*3}	0.5	0.25	0.5	0.25	(0,0)
$oliv^{*4}$	0.5	1.0	0.8	1.0	1.0
cmy^{*4}	0.5	0.0	0.0	0.0	0.0
standard and adapted CIELAB					
LAB^{*LAB}	92.61	-16.75	4.69	164.36	36
LAB^{*LaB}	87.75	17.4	164.36	36	36
LAB^{*TCh}	89.83	-33.52	9.39	164.36	36

relative Inform. Technology (IT)	$oliv^{*3}$	0.75	1.0	0.9	$(1,0)$
cmy^{*3}	0.5	0.25	0.5	0.25	(0,0)
$oliv^{*4}$	0.5	1.0	0.8	1.0	1.0
cmy^{*4}	0.5	0.0	0.0	0.0	0.0
standard and adapted CIELAB					
LAB^{*LAB}	65.98	-33.53	9.49	164.36	36
LAB^{*LaB}	68.77	-33.53	9.49	164.36	36
LAB^{*TCh}	68.77	-16.76	4.7	164.36	36

relative Inform. Technology (IT)	$oliv^{*3}$	0.75	1.0	0.9	$(1,0)$
cmy^{*3}	0.25	0.75	0.5	0.25	(0,0)
$oliv^{*4}$	0.5	0.25	0.5	0.25	0.0
cmy^{*4}	0.5	0.0	0.0	0.0	0.0
standard and adapted CIELAB					
LAB^{*LAB}	65.98	-33.53	9.49	164.36	36
LAB^{*LaB}	68.77	-33.53	9.49	164.36	36
LAB^{*TCh}	68.77	-16.76	4.7	164.36	36

relative Inform. Technology (IT)	$oliv^{*3}$	0.75	1.0	0.9	$(1,0)$
cmy^{*3}	0.0	0.25	0.15	0.0	0.0
$oliv^{*4}$	1.0	0.75	0.85	(0,0)	0.0
cmy^{*4}	0.0	0.0	0.0	0.0	0.0
standard and adapted CIELAB					
LAB^{*LAB}	21.07	-21.07	4.7	164.36	36
LAB^{*LaB}	44.92	-16.76	4.7	164.36	36
LAB^{*TCh}	44.92	-17.41	4.7	164.36	36

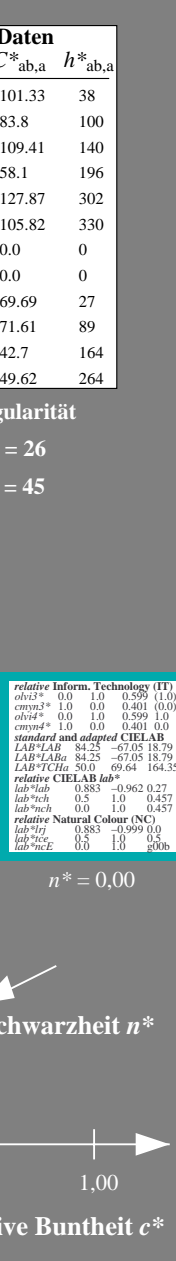
$n^* = 0,00$

$n^* = 0,25$

$n^* = 0,50$

$n^* = 0,75$

$n^* = 1,00$



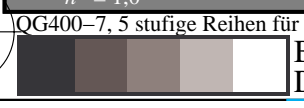
$n^* = 0,00$

$n^* = 0,25$

$n^* = 0,50$

$n^* = 0,75$

$n^* = 1,00$



BAM-Prüfvorlage QG40; Farbmétrik-Systeme ORS18 & ORS18 input: $cmy0*$ $setcmykcolor$
D50: 5stufige Farbreihen und Koordinatendaten für 10 Bunntöne output: Startup (S) data dependend

Eingabe: Farbmétrisches Offset-Reflektiv-System ORS18

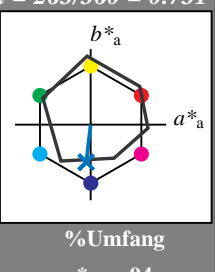
für Bunton $h^* = lab^*h = 263/360 = 0.731$
 lab^*tch und lab^*nch

D50: Bunton B

LCH*Ma: 42 47 263

olv*Ma: 0.0 0.52 1.0

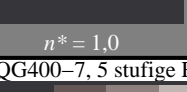
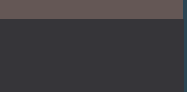
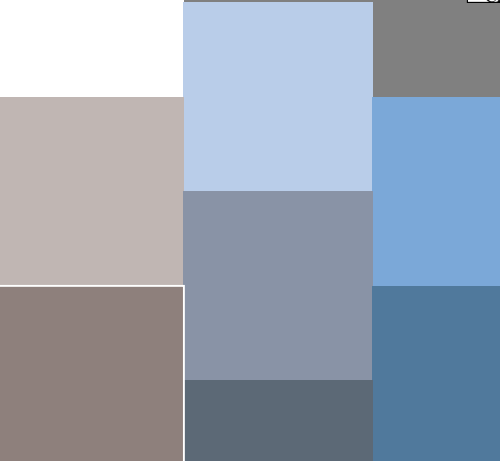
Dreiecks-Helligkeit



ORS18; adaptierte CIELAB-Daten

	$L^*=L^*_a$	a^*_a	b^*_a	$C^*_{ab,a}$	$h^*_{ab,a}$
O _{Ma}	47.94	65.05	50.54	82.38	38
Y _{Ma}	91.0	-4.72	90.58	90.7	93
L _{Ma}	50.9	-63.18	34.98	72.22	151
C _{Ma}	56.99	-39.34	-48.1	62.16	231
V _{Ma}	25.72	30.89	-44.4	54.09	305
M _{Ma}	49.99	75.76	-4.64	75.9	356
N _{Ma}	18.09	0.0	0.0	0.0	0
W _{Ma}	95.46	0.0	0.0	0.0	0
R _{CIE}	41.88	61.66	30.69	68.88	26
J _{CIE}	81.97	2.02	67.79	67.82	88
G _{CIE}	51.62	-41.32	9.74	42.46	167
B _{CIE}	29.2	-5.79	-49.61	49.96	263

1,00 ↑



n* = 0,00 0,25 0,50 0,75 1,00

relative Buntheit c*

n* = 0,50

n* = 0,25

Schwarzheit n*

n* = 0,00

n* = 0,00

n* = 0,25

n* = 0,50

n* = 0,75

n* = 0,75

n* = 0,50

n* = 0,25

n* = 0,00

Ausgabe: Farbmétrisches Fernseh-Licht-System TLS00

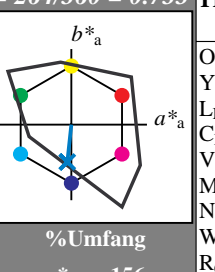
für Bunton $h^* = lab^*h = 264/360 = 0.733$
 lab^*tch und lab^*nch

D50: Bunton B

LCH*Ma: 61 54 264

olv*Ma: 0.0 0.59 1.0

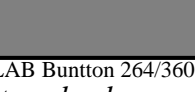
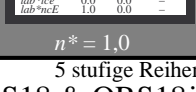
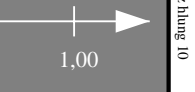
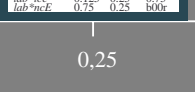
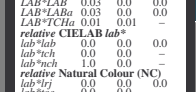
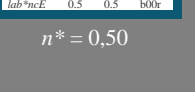
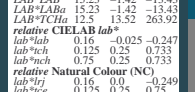
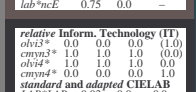
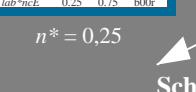
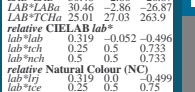
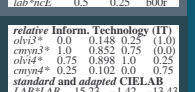
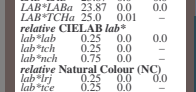
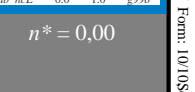
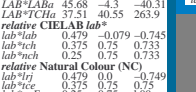
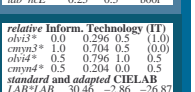
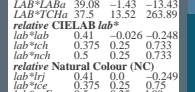
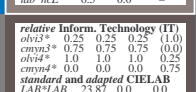
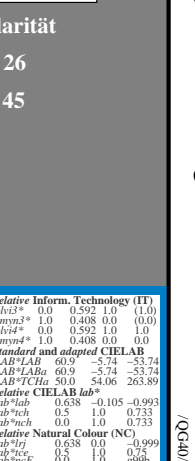
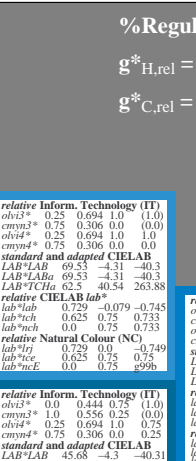
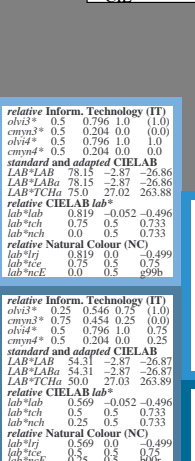
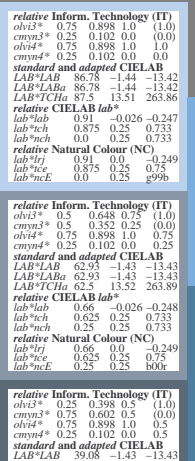
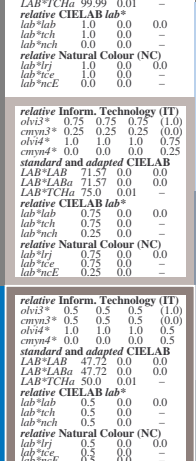
Dreiecks-Helligkeit



TLS00; adaptierte CIELAB-Daten

	$L^*=L^*_a$	a^*_a	b^*_a	$C^*_{ab,a}$	$h^*_{ab,a}$
O _{Ma}	54.19	79.36	63.0	101.33	38
Y _{Ma}	93.44	-14.18	82.59	83.8	100
L _{Ma}	82.82	-83.73	70.41	109.41	140
C _{Ma}	85.22	-55.9	-15.78	58.1	196
V _{Ma}	25.61	67.05	-108.87	127.87	302
M _{Ma}	58.76	91.18	-53.69	105.82	330
N _{Ma}	0.01	0.0	0.0	0.0	0
W _{Ma}	95.41	0.0	0.0	0.0	0
R _{CIE}	41.88	62.0	31.82	69.69	27
J _{CIE}	81.97	1.81	71.59	71.61	89
G _{CIE}	51.62	-41.11	11.52	42.7	164
B _{CIE}	29.2	-5.27	-49.33	49.62	264

%Regularität
 $g^*_{H,rel} = 26$
 $g^*_{C,rel} = 45$



QG40-7, 5 stufige Reihen für konstanten CIELAB Bunton 263/360 = 0.731 (links)

5 stufige Reihen für konstanten CIELAB Bunton 264/360 = 0.733 (rechts)

BAM-Prüfvorlage QG40; Farbmétrik-Systeme ORS18 & ORS18 input: cmy0* setcmykcolor
D50: 5stufige Farbreihen und Koordinatendaten für 10 Bunttöne output: Startup (S) data dependend

C M Y O L V

C M Y O L V

C M Y O L V

C M Y O L V

C M Y O L V